

Original Article

Evaluation of anticancer effect of *Zingiber officinale* and *Allium sativum* extract on breast cancer in Balb/c mice

Katayoon Sheybatzadeh¹, Seyed Ali Asghar Moshtaghie², Kahin Shahnipour³, Fereshteh Golab⁴

¹Ph.D, Department of Biochemistry, Falavarjan branch, Islamic Azad University, Isfahan, Iran.

²Professor, Department of Biochemistry, Falavarjan branch, Islamic Azad University, Isfahan, Iran.

³Assistant professor, Department of Biochemistry, Falavarjan branch, Islamic Azad University, Isfahan, Iran.

⁴Associated professor, Cellular and Molecular Research Center, Iran University of Medical Sciences, Tehran, Iran

Receive: 2021/10/9
Accepted: 2022/07/19

*Corresponding Author:
fgolab520@gmail.com

Ethics Approval:
1399.80

Abstract

Introduction: Breast cancer is the most common type of cancer in women. Garlic and ginger have been widely studied as antioxidant agents. In this study, we investigated the combined effect of garlic and ginger on BALB/c mice with breast cancer.

Materials and Methods: Breast tumor-bearing female mice were divided into 7 groups: 1 group receiving normal saline, 2 groups receiving different doses of ginger extract (100 and 500 mg/kg), 2 groups receiving garlic extract (50 and 100 mg/kg), 1 group receiving tamoxifen (10 mg/kg), and 1 group receiving garlic (100 mg/kg) and ginger (500 mg/kg) together. The treatments were administered intraperitoneally for 3 weeks. After this period, the size of tumor, glutathione transferase levels, and expression of *ABCG2* and *SPARC* genes were measured.

Results: Tumor size significantly decreased in all groups. The level of glutathione transferase increased in all groups, and this increase was significant except in the groups receiving garlic and ginger at a dose of 100 mg/kg. The expression of *SPARC*, a biomarker for cancer, was significantly reduced in all groups. The expression of *ABCG2*, encoding the breast cancer resistance protein, decreased in all groups, and this decrease was significant in groups receiving garlic at 50 mg/kg and tamoxifen.

Conclusion: Garlic and ginger can be useful in the treatment of cancer. This anticancer action is probably mediated through the antioxidant mechanism and inhibition of the expression of genes responsible for drug resistance in cancer. The simultaneous use of garlic and ginger did not produce a synergistic effect. Therefore, further studies are needed to determine the required doses as well as the mechanisms of this action.

Keywords: Breast Cancer, Garlic, Ginger

Introduction

Breast cancer is the most common type of cancer in women. Many plants have been investigated in the treatment of cancer, including garlic and ginger. Ginger (*Zingiber officinale* Roscoe) is commonly used to treat several common ailments (1). In recent years, it has been found that it has anticancer activities. For example, the methanol extract of ginger has shown an inhibitory effect on proliferation and colony formation in MDA-MB-231 cells (2).

Garlic (*Allium sativum* L.) is one of the oldest and most important medicinal plants used in the treatment of several common diseases such as colds, flu, and high blood pressure. Garlic is also effective in preventing cancer (3). Many studies have been conducted on the effect of garlic and ginger in the treatment of breast cancer. Since the simultaneous use of garlic and ginger can have a synergistic effect in the treatment of the disease, we used a combination of the extracts of these plants in the treatment of breast cancer and investigated its signaling pathways.

Materials & Methods

Aqueous extracts of garlic and ginger were prepared. Fifty-six female BALB/c mice

with breast cancer were divided into 7 groups including 1 group receiving normal saline, 2 groups receiving different doses of ginger (100 and 500 mg/kg), 2 groups receiving garlic (50 and 100 mg/kg), 1 group receiving tamoxifen (10 mg/kg), and 1 group receiving a mixture of garlic (100 mg/kg) and ginger (500 mg/kg). The treatments were administered intraperitoneally for 3 weeks. After this period, the size of tumor, glutathione transferase levels, and expression of *ABCG2* and *SPARC* genes were measured.

Results

Tumor size significantly decreased in all groups. The level of glutathione transferase, as an antioxidant, increased in all groups, and this increase was significant except in the groups receiving garlic and ginger at a dose of 100 mg/kg. The expression of *SPARC*, a biomarker for cancer, was significantly reduced in all groups. The expression of *ABCG2*, encoding the breast cancer resistance protein, decreased in all groups, and this decrease was significant in groups receiving garlic at 50 mg/kg and tamoxifen.

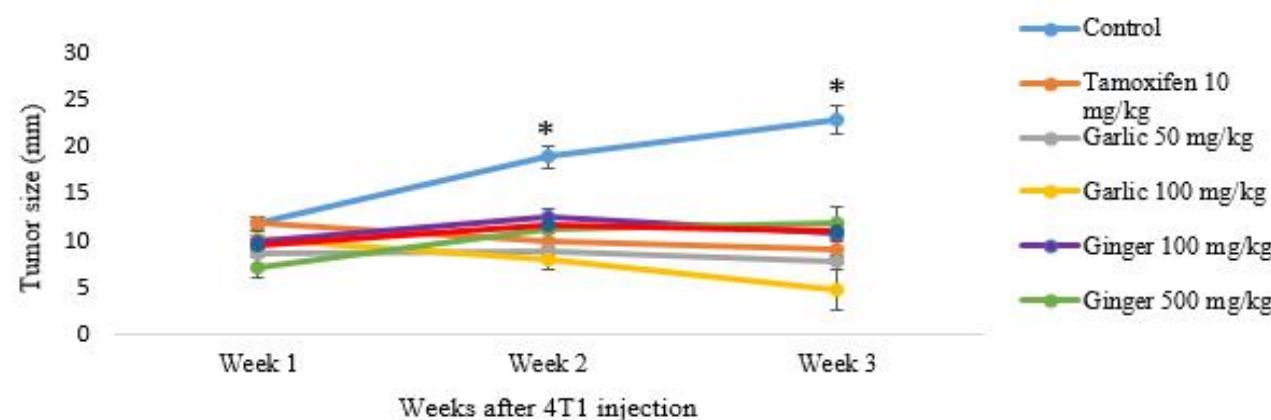


Figure 1: Tumor size in all groups

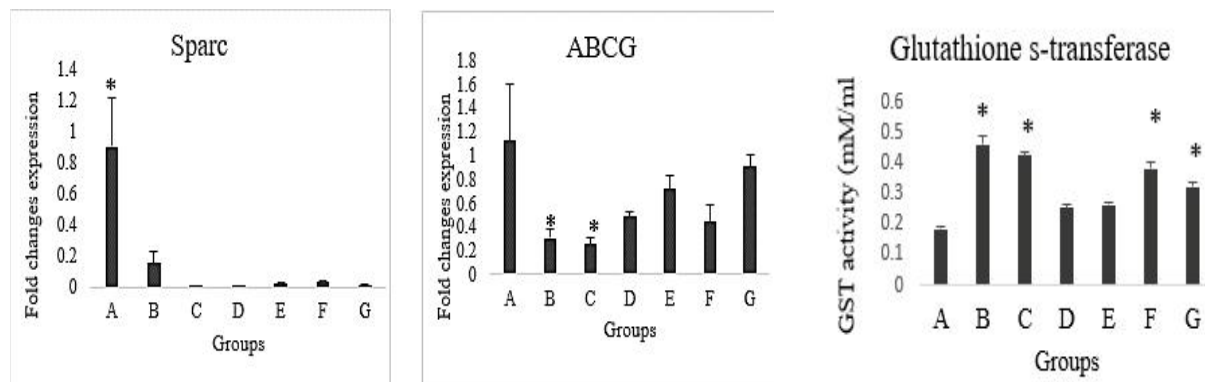


Figure 2: Sparc and ABCG gene expression and GST level in all groups

Discussion

Natural compounds mediate anticancer effects through multiple pathways. Garlic extract has also been reported to increase the anticancer effect of tamoxifen in mice (4). There are also reports on the therapeutic properties of ginger, including anti-inflammatory, antioxidant, antidiabetic, anti-arthritis, anticancer, and antineurodegenerative properties (5). Synergistic actions by two or more dietary chemicals are defined as therapeutic effects that are greater than what would be expected from the simple addition of either chemical (6).

In the present study, ginger, garlic, and their combination caused a significant reduction in tumor size, with the group receiving garlic at 100 mg/kg showing a greater decrease than the rest of the groups. Capasso et al. (7) showed that garlic prevented oxidative damage by limiting the effect of free radicals. In our study, the administration of garlic at 50 mg/kg increased the amount of this enzyme. There are also reports of ginger's antioxidant and anticancer properties. It has been reported that patients who continuously consumed ginger extract had an increase in the level of antioxidant enzymes and a decrease in the level of oxidative stress in the blood (8). In

our study, ginger at 500 mg/kg increased the amount of this enzyme. The combined administration of garlic and ginger did not increase this enzyme further. Maybe different dosing is needed for eliciting this synergistic effect, which needs more investigation.

SPARC (secreted protein acidic and rich in cysteine) is a glycoprotein. The *SPARC* gene overexpression correlates with poor tumor prognosis. In our study, the expression level of this gene showed a significant decrease in all treatment groups compared with the control group.

ATP-binding cassette (ABC) sub-family G member 2 (ABCG2) is known as the breast cancer resistance protein (9). Our study showed decreases in the expression *ABCG2*, which was significant only in the group receiving garlic at 50 mg/kg and tamoxifen. Maybe more studies are needed to examine different doses of these factors.

Conclusion

The use of garlic and ginger can be useful in the treatment of cancer. Our study showed that the administration of garlic and ginger reduces tumor size, which is probably through the antioxidant mechanism and the inhibition of the expression of genes responsible for drug resistance in cancer. The simultaneous use

of garlic and ginger did not cause greater changes. Therefore, more studies are needed to determine the necessary and

effective doses of these extracts, as well as the mechanisms of action involved.

References

1. Nile SH, Park SWJIC, Products. Chromatographic analysis, antioxidant, anti-inflammatory, and xanthine oxidase inhibitory activities of ginger extracts and its reference compounds. 2015; 70:238-44.
2. Rahman K. Historical perspective on garlic and cardiovascular disease. *J Nutr.* 2001; 131(3s): 977S-9S.
3. Cabello CM, Bair 3rd WB, Wondrak GTJCoiid. Experimental therapeutics: targeting the redox Achilles heel of cancer. 2007; 8(12):1022-37.
4. Haagenson KK, Tait L, Wang J, Shekhar MP, Polin L, Chen W, et al. Cullin-3 protein expression levels correlate with breast cancer progression. *Cancer Biol Ther.* 2012; 13(11): 1042-6.
5. Banerjee SK, Dinda AK, Manchanda SC, Maulik SKJBp. Chronic garlic administration protects rat heart against oxidative stress induced by ischemic reperfusion injury. 2002; 2(1):1-9.
6. Gomar A, Hosseini A, Mirazi N, Gomar MJICNJ. Effect of Zingiber Officinale (ginger rhizomes) hydroethanolic extract on hyoscine-induced memory impairment in adult male rats. 2015; 2(3):105-10.
7. Suddek GM. Allicin enhances chemotherapeutic response and ameliorates tamoxifen-induced liver injury in experimental animals. *Pharm Biol.* 2014; 52(8):1009-14.
8. Wu CC, Chu YL, Sheen LY. Allicin modulates the antioxidation and detoxification capabilities of primary rat hepatocytes. *J Tradit Complement Med.* 2012; 2(4):323-30.

بررسی اثر ضد سرطانی عصاره زنجبل (Zingiber officinale) و سیر (Allium sativum) بر مهار رشد تومور در سرطان پستان در موش Balb/c

کتابیون شیبت زاده^۱، سید علی اصغر مشتاقی^۲، کهین شاهانی پور^۳، فرشته گلاب^۴

^۱ گروه بیوشیمی، دانشگاه آزاد اسلامی، واحد فلاورجان، اصفهان، ایران

^۲ گروه بیوشیمی، دانشگاه آزاد اسلامی، واحد فلاورجان، اصفهان، ایران

^۳ گروه بیوشیمی، دانشگاه آزاد اسلامی، واحد فلاورجان، اصفهان، ایران

^۴ مرکز تحقیقات سلولی و مولکولی، دانشگاه علوم پزشکی ایران، تهران، ایران

چکیده

مقدمه: سرطان پستان شایع‌ترین نوع سرطان در زنان است. سیر و زنجبل به عنوان عوامل ضدالتهاب و آنتی‌اکسیدان شناخته شده‌اند. همچنین در بعضی از انواع سرطان نیز بررسی شده‌اند. در این مطالعه ما اثر سیر و زنجبل را به طور همزمان بر سرطان پستان موش سوری BALB/c بررسی کردیم.

مواد و روش‌ها: در این تحقیق موش‌های ماده با وزن ۱۸-۲۰ گرم در ۷ گروه تقسیم شدند. شامل گروه سرطانی دریافت کننده نرمال سالین، گروه‌های سرطانی دریافت کننده دوزهای مختلف عصاره زنجبل (۱۰۰ و ۵۰۰ میلی گرم بر کیلوگرم)، سیر (۵۰ و ۱۰۰ میلی گرم بر کیلوگرم)، تاموکسیفین (۱۰ میلی گرم بر کیلوگرم) و گروه سرطانی دریافت کننده همزمان سیر (۱۰۰ میلی گرم بر کیلوگرم) و زنجبل (۵۰۰ میلی گرم بر کیلوگرم) که به مدت سه هفته به صورت درون صفاقی دریافت کردند. بعد از این مدت موش‌ها را بیهوش نموده تومور را جدا کرده و اندازه آن را تعیین کردیم. میزان آنزیم گلوتاتون ترانسفراز و بیان ژن‌های ABCG2 و SPARC اندازه گیری شدند.

نتایج: یافته‌ها نشان دادند که اندازه تومور در تمامی گروه‌ها شامل دوزهای مختلف عصاره زنجبل (۱۰۰ و ۵۰۰ میلی گرم بر کیلوگرم)، سیر (۵۰ و ۱۰۰ میلی گرم بر کیلوگرم)، تاموکسیفین (۱۰ میلی گرم بر کیلوگرم) و گروه سرطانی دریافت کننده سیر (۱۰۰ میلی گرم بر کیلوگرم) و زنجبل (۵۰۰ میلی گرم بر کیلوگرم) کاهش معنی داری نشان داد. میزان آنزیم گلوتاتون ترانسفراز به عنوان آنتی اکسیدان در تمامی گروه‌ها افزایش نشان داد و این افزایش در تمامی گروه‌ها بجز گروه سیر و گروه زنجبل در دوز ۱۰۰ میلی گرم بر کیلوگرم معنی دار بود. بیان ژن SPARC به عنوان نشانگر زیستی برای سرطان در تمامی گروه‌ها کاهش معنی دار یافت. بیان ژن ABCG2 به عنوان عامل مقاوم به سرطان در تمامی گروه‌ها کاهش یافت و این کاهش در گروه سیر ۵۰ میلی گرم بر کیلوگرم و تاموکسیفین معنی دار بود.

بحث و نتیجه گیری: استفاده سیر و زنجبل در درمان سرطان می‌تواند مفید باشد. این عمل احتمالاً از طریق مکانیسم آنتی اکسیدانی و مهار بیان ژنهای مقاوم به سرطان می‌باشد. استفاده همزمان سیر و زنجبل باعث تغییرات بیشتری در این زمینه نشد. بنابراین بررسی‌های بیشتری جهت تعیین میزان دوزهای لازم و همچنین مکانیسم این امر لازم می‌باشد.

واژه‌های کلیدی: سرطان پستان، سیر، زنجبل

تاریخ ارسال: ۱۴۰۰/۰۷/۱۷

تاریخ پذیرش: ۱۴۰۱/۰۴/۲۸

* نویسنده مسئول:
moshtaghe_a@iaufala.ac.ir
Fgolab520@gmail.com

مقدمه

شایع‌ترین سرطان‌ها مانند سینه، ریه، روده بزرگ و پروستات، ۴۵٪ از کل مرگ و میرها را تشکیل می‌دهند. سرطان پستان شایع‌ترین نوع سرطان در زنان بوده و دومین علت مرگ و میر در آنها شناخته می‌شود (۱۰). سرطان پستان ۳۰٪ از کل تشخیص‌های جدید سرطان را در زنان آمریکایی تشکیل می‌دهد (۱۱). گزینه‌های درمانی در برابر سرطان شامل جراحی، پرتو درمانی، شیمی درمانی و ژن درمانی است که در حال حاضر غالب با سمیت شدید و عوارض جانبی همراه است (۱۲). درمان‌های دارویی مانند تاموکسیفن، پس از استفاده طولانی مدت منجر به افزایش خطر مقاومت، عوارض ترومبوآمبولیک و هایپرپلازی آندومتر می‌شوند (۱۳). در نتیجه، محققان به دنبال راه حل‌های درمانی جدید هستند. در این راستا، متابولیت‌های گیاهان دارویی چشم انداز بزرگی را به عنوان منبع ترکیبات ضد سرطانی و پیشگیری کننده نشان داده اند (۱۴). گیاهان متعددی در درمان سرطان مورد بررسی قرار گرفته اند که از جمله آنها سیر و زنجبیل می‌باشند.

زنجبیل (*Zingiber officinale Roscoe*), که متعلق به خانواده *Zingiberaceae* است، معمولاً به عنوان ادویه و داروی گیاهی برای مدت‌های طولانی مصرف می‌شده است (۱۵). ریشه زنجبیل برای درمان چندین بیماری شایع مانند سردرد، سرماخوردگی، تهوع و استفراغ استفاده می‌شود. بسیاری از ترکیبات فعال زیستی در زنجبیل مانند ترکیبات فنولیک و ترپنها شناسایی شده اند. ترکیبات فلی عمدتاً جینجرولها، شوگائولها و پارادولها هستند که انواع مختلفی هستند (۱۶). در سال‌های اخیر مشخص شده است که زنجبیل دارای فعالیت‌های بیولوژیکی آنتی اکسیدان (۱۷)، ضد التهاب (۱۸)، ضد میکروب (۱۹) و ضد سرطان (۲۰) می‌باشد. علاوه بر این، مطالعات نشان میدهد که زنجبیل باعث پیشگیری از ابتلا به بیماری‌هایی مانند بیماری‌های عصبی (۲۱)، بیماری‌های قلبی عروقی (۲۲)، چاقی (۲۳)، دیابت شیرین (۲۴)، تهوع و استفراغ ناشی از شیمی درمانی (۲۵) و اختلالات تنفسی می‌شود (۲۰). در تحقیقات اخیر زنجبیل اثر ضد سرطان پستان را نیز نشان داده است (۲۶). به عنوان مثال، عصاره مثانولی زنجبیل اثر مهاری بر تکثیر و تشکیل کلونی در سلول‌های MDA-MB-231 نشان داده است. همچنین عصاره زنجبیل از طریق افزایش Bax و کاهش NF-κB، Bcl-2 باعث آپوپتوز در سلولهای survivin و MCF-7 و MDA-231 شده است (۲۷).

مواد و روش‌ها

به منظور عصاره‌گیری گیاه زنجبیل، دانه گیاه تازه ضد عفونی شده از شرکت پاکان بذر اصفهان خردباری شده و عصاره آبی آن تهیه گردید. به این صورت که ۲ گرم از پودر زنجبیل به ۹۰ آب مقدار گرم شده روی هاتپلیت اضافه گردید. پودر گیاه درون آب مقدار حل شد. بعد از خنک شدن، محلول عصاره حاصل با کمک قیف از تنظیف عبور داده شد. سپس به منظور رسوب کردن مواد ناخالص، محلول عصاره در دستگاه سانتریفیوژ به مدت ۱۵ دقیقه با دور ۴۵۰۰ rpm قرار داده شد.

- گروه ۷ (تجربی): به مدت سه هفته، 500 mg/kg عصاره آبی زنجبل و سیر را (به ترتیب) دریافت کردند.

تزریق به صورت درون صفاقی (Intra Peritoneal; IP) بر روی موش‌ها انجام شد. پس از سه هفته خونگیری و تشریح موش‌ها انجام شد. موش‌ها با کلروفرم بیهوش شدند. بافت تومور خارج گردید. توسط نرمال سالین شست و شو داده شده و به دو قسمت تقسیم شد. یک قسمت جهت انجام آزمایشات PCR در محلول RNX و در میکروتیوب‌های -۸۰°C قرار داده شده و در فریزر -۸۰°C نگهداری گردید. یک قسمت دیگر برای انجام الایزا در میکروتیوب‌های استریل قرار داده شده و در فریزر -۸۰°C نگهداری شد. همچنین به منظور تعیین میزان آسیب بافتی و بهبود پس از درمان، بافت‌ها جهت انجام بررسی‌های پاتولوژی در فرمالین ۱۰ درصد قرار گرفتند.

الایزا

به منظور بررسی اثر عصاره آبی سیر، زنجبل و تاموکسیفون بر میزان آنزیم گلوتاتیون-S-ترانسفراز سرم از کیت تحقیقاتی idothyronine-Mouse استفاده شده و بر اساس روش کار موجود در کیت این روش انجام شد. در آخر نمونه‌ها در دستگاه ELISA reader قرار داده شده و جذب آنها در طول موج 450 nm قرائت شد.

بررسی بیان ژن

بیان ژن‌های ABCG2 و SPACR در بافت تومور بررسی شد. ابتدا برای استخراج RNA از کیت RNX Plus ساخت شرکت سیناکلون استفاده شد. از 20 میلیگرم بافت تومور بر اساس دستورالعمل کیت RNA استخراج شده و در $20\text{ میکرولیتر آب عاری از RNase}$ حل شد. سپس برای سنتز RevertAid First Strand cDNA از کیت cDNA Thermo Scientific Synthesis از شرکت Thermo Scientific استفاده شد. از نمونه‌های RNA به میزان 1 میکروگرم (برای هر واکنش 20 میکرولیتر حجم) استفاده شد. از cDNA سنتز شده برای Real-time-PCR مبتنی بر SYBR SYBER Green PCR real-time از کیت TAKARA انجام شد. جفت پرایمرهای مورد از کمپانی استفاده شد. جفت پرایمرهای مورد استفاده در این مطالعه در جدول ۱ نشان داده شده‌اند.

عصاره‌گیری آبی گیاه سیر به این صورت بود که در ابتدا 350 گرم از سیر تازه له شده با 250 میلی لیتر آب مقطر استریل به مدت 48 ساعت در دمای آزمایشگاه قرار داده شد. پس از آن برای جاسازی ناخالصی‌های حاصل از گیاه له شده محلول به دست آمده با استفاده از قیف از تنظیف عبور داده شد. در ادامه، به منظور رسوب کردن مواد ناخالص، محلول عصاره را در دستگاه سانتریفیوژ به مدت 15 دقیقه با دور 4500 rpm قرار دادیم. لازم به ذکر است که در این تحقیق، عصاره‌گیری به صورت روزانه انجام شده و پس از آن، تزریق انجام می‌شد. عصاره‌های آبی زنجبل و سیر کروماتوگرافی شدند تا مواد موجود در عصاره و درصد آنها مشخص شود.

۵۶ عدد موش سوری ماده نژاد C Balb/C با وزن $18-20\text{ گرم}$ از موسسه سرم سازی رازی کرج خردباری شده و در اتاق حیوانات دانشگاه علوم پزشکی ایران با رعایت شرایط حرارتی 25 درجه سانتیگراد و شرایط نوری 15 ساعت روشناختی و 15 ساعت تاریکی در قفس‌های مخصوص نگهداری شدند بعد از یک هفته قرنطینه، تزریق عصاره شروع شد. تزریقات در دوره زمانی سه هفته انجام شد. موش‌های ماده BALB/C در 7 گروه تقسیم بندی شدند. در هر گروه حدود 8 موش انتخاب شدند. موشهای وزن شدند و دوز تزریقی بر اساس آن محاسبه گردید. دوزهای انتخابی ما بر اساس مطالعات قبلی بود ($۳۹-۳۱, ۶, ۵$). گروه بندی شامل:

- گروه ۱ (شاهد): گروه کنترل سرطان که در طی 3 هفته

تزریق، نرمال سالین دریافت کردند.

- گروه ۲ (تجربی): به مدت سه هفته، 50 mg/kg عصاره آبی سیر، دریافت کردند.

- گروه ۳ (تجربی): به مدت سه هفته، 100 mg/kg عصاره آبی سیر، دریافت کردند.

- گروه ۴ (تجربی): به مدت سه هفته، 100 mg/kg عصاره آبی زنجبل، دریافت کردند.

- گروه ۵ (تجربی): به مدت سه هفته، 500 mg/kg عصاره آبی زنجبل، دریافت کردند.

- گروه ۶ (تجربی): به مدت سه هفته، 10 mg/kg داروی تاموکسیفون دریافت کردند.

جدول ۱: سکانس پرایمرهای استفاده شده جهت انجام آزمایش Q-PCR

Name	Sequences	TM	product length
ABCG2-F	ATTCATCAGCCTCGGTATTCC	57.59	
ABCG2-R	CGCAGGGTTGTTAGGG	58.02	150
Sparc-F	TAGACAAACGACAAGTACATTGC	56.76	
Sparc-R	CACATCAGAGGGAGAGGTTTC	57.20	134
bactin-F	TGAAGATCAAGATCATTGCTCCTC	58.63	
bactin-R	TCAGTAACAGTCCGCCTAGAAG	59.25	170

یافته‌ها

بررسی اثر عصاره زنجبیل و سیر بر اندازه تومور: موش‌های ماده و سلطانی Balb/c در عرض ۳ هفته دوزهای مختلف سیر و زنجبیل را دریافت کردند. هر هفته اندازه تومور تعیین گردید. نمودارها نشان دهنده میانگین \pm انحراف معیار از میانگین (Mean \pm SEM) می‌باشند (n=8). موش‌های سلطانی در تمامی گروه‌های دریافت کننده سیر و زنجبیل در همه دوزها و در هفته دوم و سوم از نظر اندازه تومور نسبت به گروه سلطانی دریافت کننده سالین کاهش معنی‌دار نشان دادند. اندازه تومور در هفته اول در تمامی گروه‌ها به ترتیب (12 \pm 0.7, 11.91 \pm 0.71, 8.83 \pm 1.12, 10.21 \pm 0.82, 9.92 \pm 1, 11.91 \pm 0.71, 8.83 \pm 1.12, 10.21 \pm 0.82, 9.92 \pm 1, 7.22 \pm 1.13, 9.55 \pm 0.90 بود). اندازه تومور در هفته دوم 19 \pm 1.2, 9.98 \pm 0.71, 8.91 \pm 0.87, 8.1 \pm 1.18, 12.6 \pm 0.89, 11.31 \pm 1.09, 11.69 \pm 1.14 در گروه‌ها به ترتیب (23 \pm 1.5, 9.24 \pm 1.10, 7.9 \pm 1.41, 4.75 \pm 2.15, 10.98 \pm 1.54, 12.03 \pm 1.67, 11.14 \pm 1.09 بود. (نمودار ۱). P<0.05)

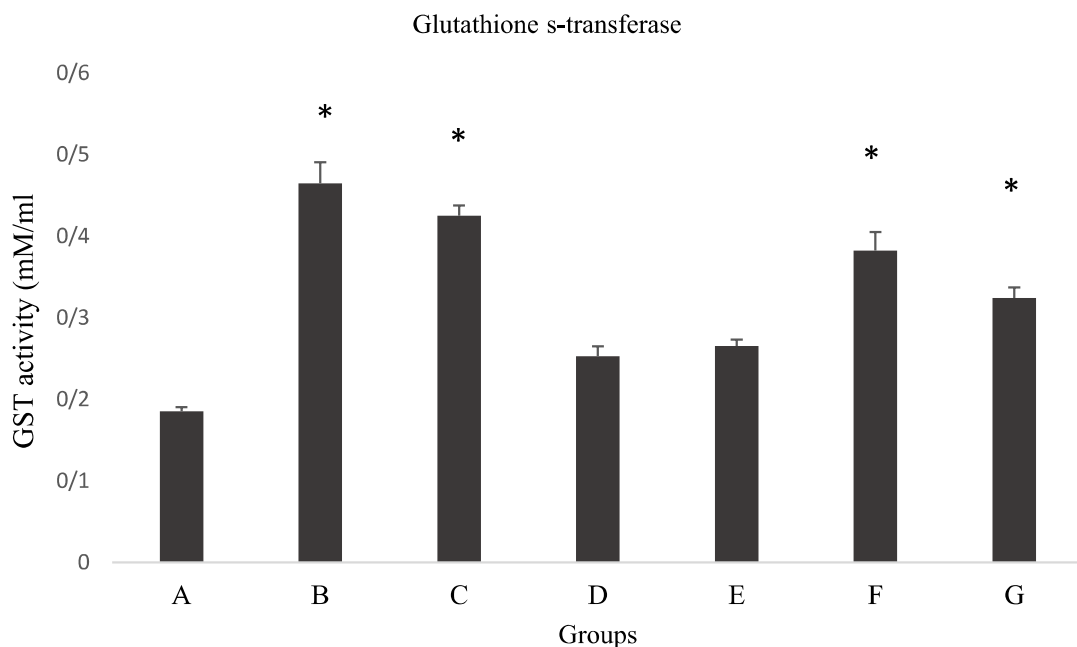
تغییرات میزان آنزیم GST با استفاده از روش الایزا در مطالعه انجام شده تزریق عصاره آبی سیر و زنجبیل بر موش‌های سلطانی نشان داد که این آنزیم در تمامی گروه‌ها نسبت به گروه سلطانی دریافت کننده سالین افزایش نشان داد. این میزان در گروه‌های مختلف به ترتیب 0.1853 \pm 0.005, 0.46 \pm 0.02, 0.42 \pm 0.01, 0.25 \pm 0.01, 0.26 \pm 0.007, 0.38 \pm 0.02, 0.32 \pm 0.01 بود. این افزایش در همه گروه‌ها بجز گروه موش‌های سلطانی دریافت کننده دوز ۱۰۰ mg/kg ۱۰۰ mg/kg سیر و ۱۰۰ زنجبیل، معنی دار بود (P<0.05) (نمودار ۲).

پارامترهای حرارتی عبارت بودند از: یک چرخه در ۹۵ سانتیگراد برای ۲۰ ثانیه، و سپس ۴۰ چرخه در ۹۵ درجه سانتیگراد برای ۶۰ ثانیه و ۶۰ درجه سانتیگراد برای ۳۰ ثانیه. میزان بیان ژن با روش کمی نسبی ارزیابی شد. میزان بیان ژن‌ها در نظر گرفته شد. تغییرات نسبی با استفاده از روش $\Delta\Delta Ct$ نسبت به مقادیر بیان ژن برای موش‌های کنترل تعیین شد. این روش به شرح زیر است: میزان تکثیر در چرخه ای که بیان ژن‌ها قابل ردیابی است تحت عنوان (Threshold Cycle; Ct) می‌شود. پس از به دست آوردن Ct ژن‌های مورد مطالعه در تمامی نمونه‌ها و محاسبه ΔCt (حاصل تفریق Ct ژن‌های مورد بررسی از Ct ژن بتا اکتین) برای تمام نمونه‌های گروه تجربی و گروه کنترل یا شاهد $2^{-\Delta\Delta Ct}$ محاسبه می‌شود که به آن سطح بیان نسبی ژن (Relative Expression) می‌گویند. سپس Fold Change تمام نمونه‌ها نسبت به میانگین سطح بیان نسبی نمونه‌های کنترل محاسبه می‌شود.

$$2^{-\Delta\Delta Ct} = 2^{-(\Delta Ct_{sample} - \Delta Ct_{control})} = \frac{2^{-(\Delta Ct)_{sample}}}{2^{-(\Delta Ct)_{control}}}$$

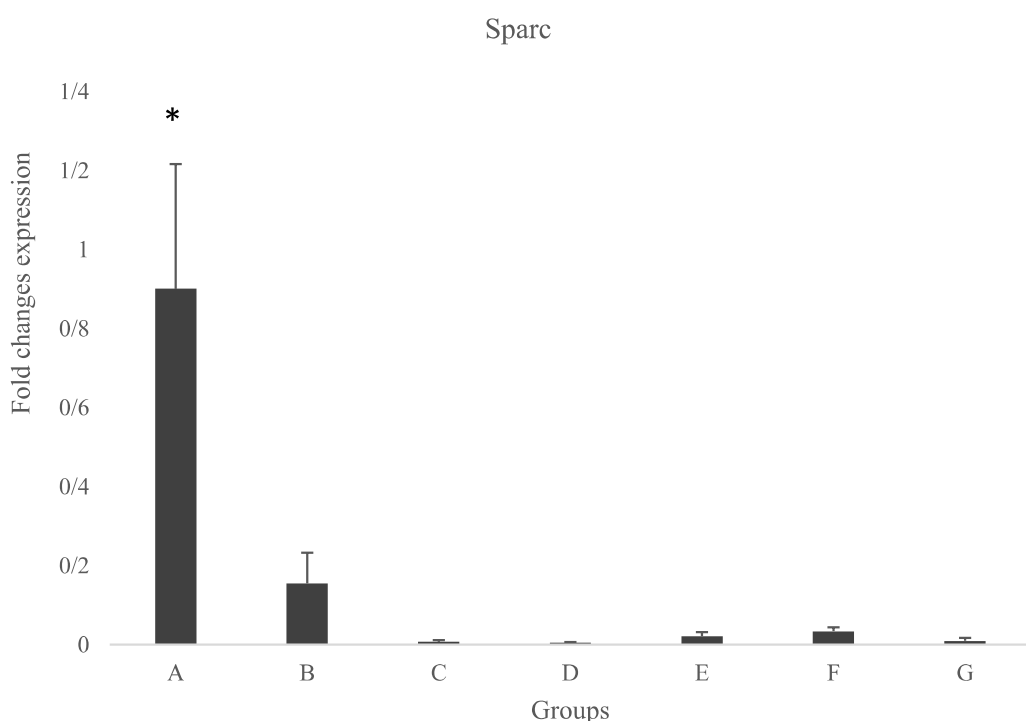
آنالیز آماری

نتایج آماری به دست آمده در این تحقیق به صورت میانگین \pm خطای استاندارد میانگین ارائه شد. از برنامه SPSS جهت آنالیز داده‌ها استفاده شد. با توجه به این نکته که داده‌های مورد نظر آماری در تحقیق حاضر از توزیع نرمال برخوردار بودند، آنالیز واریانس یکطرفه ANOVA برای مقایسه داده‌ها استفاده گردید و برای مقایسه بین گروه‌ها از Dukan Test Post Hoc Test (پست تست دانکن) استفاده شد. مقدار P کمتر از ۰.۰۵ معنی دار در نظر گرفته شد.



نمودار ۲: میزان آنزیم GST در تمامی گروه‌ها با تکنیک الایزا تعیین شد.

این میزان در تمامی گروه‌ها بجز گروه موش‌های سرطانی دریافت کننده دوز ۱۰۰ mg/kg سیر و زنجبل افزایش معنی دار نشان داد. *تفاوت معنادار با گروه کنترل. A: کنترل، B: تاموکسیفین ۱۰ mg/kg، C: سیر ۵۰ mg/kg، D: سیر ۱۰۰ mg/kg، E: زنجبل ۱۰۰ mg/kg، F: زنجبل ۵۰ mg/kg، G: سیر ۱۰۰ و زنجبل ۵۰ mg/kg.



نمودار ۳: تغییرات بیان ژن Sparc در بافت تومور موش‌ها در تمام گروه‌های مورد مطالعه بررسی شد.

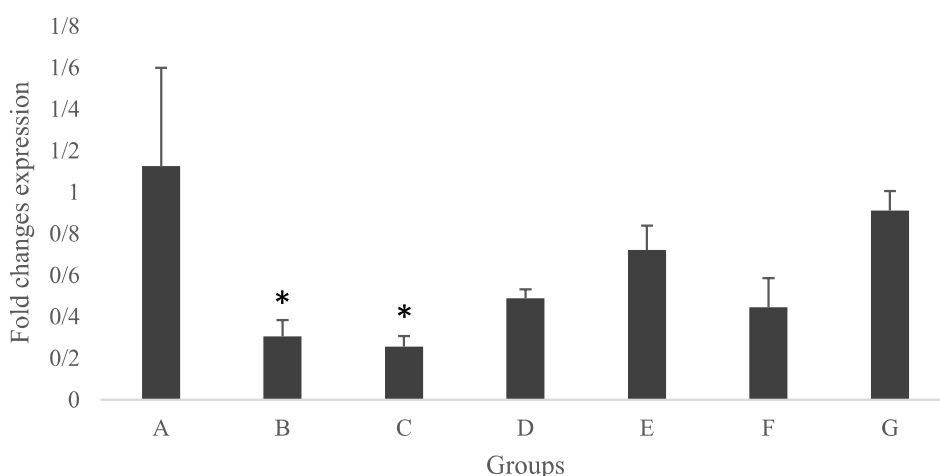
میزان بیان ژن SPARC در تمامی گروه‌ها نسبت به گروه کنترل کاهش معنی داری را نشان داد. *تفاوت معنادار با سایر گروه‌ها. A: کنترل، B: تاموکسیفین ۱۰ mg/kg، C: سیر ۵۰ mg/kg، D: سیر ۱۰۰ mg/kg، E: زنجبل ۱۰۰ mg/kg، F: زنجبل ۵۰ mg/kg، G: سیر ۱۰۰ و زنجبل ۵۰ mg/kg.

۰.۰۰۳، ۰.۰۰۵±۰.۰۰۱، ۰.۰۲±۰.۰۱، ۰.۰۰۷±۰.۰۳±۰.۰۱، ۰.۰۰۹±۰.۰۰۷ (P<0.05) بود. (نمودار^۳). همچنین نتایج حاصل از بیان ژن ABCG2 در بافت تومور نشان داد که استفاده از عصاره سیر و زنجیل به ترتیب با دوزهای ۵۰ و ۱۰۰ و ۵۰۰ میلی گرم بر کیلوگرم باعث کاهش بیان این ژن در همه گروه‌ها شد ولی معنی‌دار نبود تنها در گروه سیر ۵۰ میلی گرم بر کیلوگرم و تاموکسیفن این کاهش معنی‌دار بود. این میزان در گروه‌های مختلف به ترتیب (۱.۱۲±۰.۴۷، ۰.۳۰±۰.۰۷، ۰.۲۵±۰.۰۵، ۰.۴۸±۰.۰۴، ۰.۷۲±۰.۱۱، ۰.۴۴±۰.۱۳، ۰.۹۱±۰.۰۹) بود. (نمودار^۴).

بررسی تغییرات بیان ژن‌های ABCG2 و SPARC در بافت تومور موش‌ها

نتایج حاصل از بیان ژن SPARC در بافت تومور نشان داد که استفاده از عصاره سیر و زنجیل به ترتیب با دوزهای ۵۰ و ۱۰۰ و ۵۰۰ میلی گرم بر کیلوگرم باعث کاهش بیان این ژن گردید. همچنین تاموکسیفن نیز با دوز ۱۰ میلی گرم بر کیلوگرم باعث کاهش بیان این ژن شد. تجویز توان سیر و زنجیل نیز باعث کاهش بیان این ژن شد ولی نسبت به سایر گروه‌ها کاهش بیشتری نشان نداد. این میزان در گروه‌های مختلف به ترتیب (۰.۹۰±۰.۳۱، ۰.۱۵±۰.۰۷، ۰.۹۰±۰.۳۱، ۰.۱۵±۰.۰۷) بود.

ABCG



نمودار ۴: تغییرات بیان ژن ABCG2 در بافت تومور موش‌ها در تمام گروه‌های مورد مطالعه بررسی شد.

میزان بیان ژن ABCG2 در گروه دریافت کننده دوز ۵۰ میلی گرم بر کیلوگرم و تاموکسیفن نسبت به سایر گروه‌ها کاهش معنی‌داری را نشان داد. *p<0.05 تفاوت معنادار با گروه کنترل. A: کنترل، B: تاموکسیفن ۱۰ mg/kg، C: سیر ۵۰ mg/kg، D: سیر ۱۰۰ mg/kg، E: زنجیل ۱۰۰ mg/kg، F: زنجیل ۵۰۰ mg/kg، G: سیر ۵۰۰ mg/kg.

بحث

سیر (*Allium sativum*) یک ادویه محبوب و رایج است که برای درمان انواع بیماری‌ها و همچنین به عنوان یک آنتی بیوتیک، ضد ترومبوتیک و ضد نئوپلاستیک شناخته شده است. مطالعات اپیدمیولوژیک نشان داده است که مصرف سیر میزان بروز سرطان را در معده، روده بزرگ، سینه و دهانه رحم کاهش می‌دهد (۴۲). همچنین گزارش شده است عصاره سیر، اثر ضدسرطان تاموکسیفن را در موش‌ها افزایش می‌دهد (۴۳). گزارش‌هایی نیز از خواص زنجیل (Ginger) وجود دارد که دارای خواص ضد التهابی (۹)، آنتی اکسیدانی، آنتی دیابتی، ضد آرتروز، ضد سرطان و ضد بیماری‌های نورودژنراتیو است (۴۴). اقدامات هم افزایی

با وجود پیشرفت‌های وسیع انواع مختلف درمان، هنوز سلطان به عنوان یک بیماری چند عاملی، دو میان علت مرگ و میر در جهان است (۴۰). ترکیبات طبیعی از طریق مسیرهای متعدد واسطه اثرات ضد سرطانی می‌شوند (۴۱). بسیاری از مواد گیاهی طبیعی دارای فعالیت ضد سرطانی هستند. برخی از آنها به خوبی مورد مطالعه قرار گرفته و به عنوان یک عامل ضد سرطان استفاده می‌شوند. اما اکثر آنها به دلیل نبودن فراهمی زیستی و در دسترس نبودن خواص فیزیکی و شیمیایی هنوز تحت بررسی هستند (۸).

دارد و باعث می‌شود تعادل حالت‌های اکسیداسیون و احیا در سلول‌ها حفظ شود (۵۰).

گلوتاتیون-اس-ترانسفراز (Glutathione s-transferase; GST) یک دیمر است که تقریباً در همه یوکاریوت‌ها وجود دارد و در سم زدایی داخل سلول نقش دارد (۵۱). بستر طبیعی GST گلوتاتیون است (۵۲). گلوتاتیون اس ترانسفراز تعامل GSH را با بسیاری از انواع ترکیبات کاتالیز می‌کند (۵۳). GST نقش مهمی در خنثی سازی رادیکال‌ها ی آزاد، کاهش تجمع هیدرو پراکسیدهای اسید چرب و هیدروپراکسیدهای فسفولیپید و جلوگیری از تولید آلدئیدهای غیر اشباع در سلول‌ها دارد (۵۴). اخیراً مشخص شد که GST اثرات سمی ناشی از داروها، افزودنی‌های غذایی، مواد شیمیایی محیطی و سرطان زا را خنثی می‌کند (۵۰) و همکاران نقش مهار کننده GST را به Manupati (۵۰) عنوان یک استراتژی درمانی بالقوه برای جلوگیری از متاستاز سرطان و عود سرطان ناشی از شیمی درمانی نشان دادند (۵۵). در یک مطالعه دیده شد آلیسین به صورت انتخابی، ژن گلوتاتیون اس ترانسفراز (GST) را در دستگاه گوارش و کبد موش بافزایش می‌دهد (۵۶). WU و همکاران نشان دادند که سلولهای کبدی که به مدت ۲۴ ساعت در معرض ۱۰ یا ۳۰ میکرومولار آلیسین قرار گرفته بودند، گلوتاتیون اس ترانسفراز (GST) بیشتری را بیان کرده بودند. این بدان معناست که آلیسین به طور بالقوه قابلیت آنتی اکسیداسیون و سم زدایی را به صورت وابسته به دوز افزایش می‌دهد (۵۷). Liu و همکاران نشان دادند افزودن ۲۰ گرم/کیلوگرم پودر سیر به رژیم غذایی موش‌های تحت درمان با 7,12-dimethylbenz[α]anthracene (DMBA) باعث می‌شود که تعداد تومورها کاهش یافته و فعالیت گلوتاتیون اس ترانسفراز افزایش یابد (۵۸). در مطالعه ما تجویز سیر با دوز ۵۰ میلی گرم بر کیلوگرم باعث افزایش میزان این آنزیم گردید.

گزارش‌هایی از خواص آنتی اکسیدانی و در نتیجه ضد سرطانی زنجبیل نیز وجود دارد. گزارش شده است بیمارانی که به طور مداوم عصاره زنجبیل مصرف می‌کردند افزایش سطح آنزیم‌های آنتی اکسیدانی و کاهش سطح استرس اکسیداتیو در خون داشتند (۵۹). مطالعات نشان می‌دهند که عصاره زنجبیل به عنوان مکمل روزانه برای بیمارانی که شیمی‌درمانی دریافت می‌کنند، می‌تواند سطح آنزیم‌های آنتی اکسیدانی در خون، از جمله فعالیت سوپر اکسید

توسط دو یا چند ماده شیمیایی رژیمی به عنوان اثرات درمانی تعریف شده است که بیشتر از آن چیزی است که از افزودن ساده هر یک از مواد شیمیایی انتظار می‌رود. اقدامات هم افزایی علیه سلول‌های سرطانی ممکن است اثرات مفیدی در سرطان سینه داشته باشد (۴۵). جاویر و همکاران فعلیت هم افزایی *Tinospora cordifolia* و زنجبیل را در سرطان پستان نشان دادند (۷).

در مطالعه حاضر، زنجبیل، سیر و ترکیب توأم آنها با هم باعث کاهش قابل توجهی در اندازه تومور شد. البته دوز ۱۰۰ می‌گذرد که این ترکیب می‌تواند این اثر را داشته باشد (۴۶). سیر کاهش بیشتری نسبت به مابقی گروهها نشان داد. اثرات سیر عمده‌ای به دلیل ترکیبات فعال زیستی است که شامل ترکیبات گوگردی مانند سولفیدهای آلی، ساپونین‌ها، ترکیبات فولیک و پلی ساکاریدها است (۴۶). سیر حاوی diallyl-S-allyl-, E/Z-ajoene thiosulfonate S-alill-cysteine sulfoxide cysteine (SAC) gallic acid, pyrogallol, β -resorcyclic acid, alliin) و می‌باشد (۴۴). آلیسین، ماده اصلی فعال سیر، در حال حاضر به طور گسترده برای درمان تومور مورد بررسی قرار گرفته است (۴۷).

mekanizmehای متعددی برای توضیح توانایی سیر و ترکیبات مشتق شده از سیر برای سرکوب خطر ابتلا به سرطان سینه پیشنهاد شده است. که شامل مهار جهش زایی، مهار تولید گونه‌های فعال اکسیژن و تنظیم توقف چرخه سلولی و یا القاء آپوپتوز می‌باشد (۴۸). Capasso و همکاران بیان کردند سیر با محدود کردن اثر رادیکالهای آزاد از آسیب اکسیداتیو جلوگیری می‌کند (۴۹). رادیکال‌های آزاد، از جمله پراکسید هیدروژن، آنیون سوپراکسید و رادیکال‌های هیدروکسیل، مواد سمی هستند که در مسیرهای انتقال الکترون در میتوکندری‌ها، به ویژه تحت تحریک نور مأراء بنفسش، تولید می‌شوند. مقادیر بیش از حد این رادیکال‌ها باعث آسیب به سلول‌ها، اسیدهای نوکلئیک، پروتئین‌ها و لیپیدها می‌شود (۴۶). گلوتاتیون- γ -L-Glutamyl-L-cysteinylglycine; (GSH) اصلی سلولی شناخته می‌شود که از سلول‌ها در اولین خط دفاعی در برابر استرس اکسیداتیو محافظت می‌کند (۴۷). گلوتاتیون یک مولکول محلول در آب است که به طور گسترده به صورت اکسید شده و احیا در یوکاریوت‌ها وجود

در سرطان پستان تومورزایی دارد و با پیش آگهی بدتری همراه است (۶۵).

Hsiao و همکاران (۶۶) گزارش کردند که بیماران با بیان SPARC دو برابر بیشتر در معرض مرگ و میر بودند. با این حال Koblinski و همکاران (۶۷) نتیجه مخالفی را گزارش کردند که افزایش بیان درون زای SPARC ممکن است فعالیت تهاجمی سلول‌های سرطانی پستان را کاهش دهد. MA و همکاران نشان دادند که افزایش بیان SPARC در سرطان سینه همراه با کاهش میزان متاستاز استخوان و کاهش فعالیت استنوكلاست‌ها همراه بود (۶۰). در مطالعه ما میزان بیان این ژن در تمامی گروه‌های مورد مطالعه نسبت گروه کنترل کاهش معنی داری نشان داد. این بدان معنی است که عصاره آبی سیر و زنجبیل و تجویز توان آن‌ها همه به یک اندازه باعث کاهش بیان این ژن می‌شوند. و در مقایسه با تاموکسیفون تغییر معنی داری ندارند. مطالعه ما هم راستا با مطالعاتی است که نشان میدهد افزایش بیان SPARC با پیش آگهی ضعیف در رابطه با سرطان سینه همراه است.

ATP-binding cassette (ABC), sub-family G, isoform 2 protein; ABCG2 مقاوم در برابر سرطان سینه شناخته می‌شود. این پروتئین یک پمپ خروج دارو و یکی از اعضای مهم خانواده حمل کننده ABC است و در سال ۱۹۹۸ شناسایی شد. در بافت طبیعی، ABCG2 عملکردهای متعددی را انجام می‌دهد (۶۸). در سطوح بسیار بالایی در جفت بیان می‌شود و از جنین در حال رشد در برابر اندو و اگزوتوكسین‌ها محافظت می‌کند. همچنین هموستاز مواد مغذی و هورمون‌های خاص را تنظیم می‌کند. در دستگاه گوارش، در جذب مواد مغذی نقش دارد (۶۹). مطالعات نشان می‌دهد که این پروتئین نقش مهمی در مقاومت در برابر عوامل ضد سرطانی دارد (۶۲). از آنجا که ABCG2 برای اولین بار در سلول‌های سرطانی مقاوم به دارو شناسایی شد، این فرضیه مطرح شد که انواع عوامل سمیت سلولی بسترها ABCG2 هستند و مقاومت در برابر این عوامل نتیجه خروج دارو توسط ABCG2 است (۶۳). Shigeta و همکاران نشان دادند که ABCG2 نقش مهمی در مقاومت بالینی تومورها در برابر داروهای ضد سرطان دارد (۶۴). یکی از راهکارهای امیدوارکننده برای غلبه بر مقاومت دارویی استفاده از مهار کننده‌های قوی ABCG2 است (۶۵). اولین مهار کننده

دیسموتاز، کاتالاز و گلوتاتیون پراکسیداز را افزایش دهد (۶۰). زنجبیل به دلیل دارا بودن بیش از ۶۰ ترکیب فعال که به طور گستردگی به ترکیبات فرار و غیر فرار تقسیم می‌شوند، مشهور است. اجزای فرار شامل هیدروکربن‌ها هستند، در حالی که زنجبیل حاوی ترکیبات فنلی تند غیر فرار مانند 6-paradol، 6-gingerol، 6-shagol و zingerone هم می‌باشد (۶۱). و همکاران نشان دادند ترپن‌وئیدهای موجود در بخار عصاره زنجبیل با افزایش بیان p53 و کاهش همزمان بیان Bcl-2 باعث آپوتوز سلول‌های سرطانی آندومتر می‌شوند (۶۲).

در مطالعه ما زنجبیل با دوز ۵۰۰ میلی گرم بر کیلوگرم باعث افزایش میزان این آنزیم گردید. تجویز توان سیر و زنجبیل باعث افزایش بیشتر این آنزیم نشد. شاید برای این امر نیاز به دوزهای متفاوت تری می‌باشد که نیاز به بررسی‌های بیشتری دارد.

SPARC (secreted protein acidic and rich in cysteine) گلیکوپروتئینی است که به آلبومین متصل می‌شود و توسط سلول‌ها ترشح می‌شود و بر واکنش‌های آنها با ماتریکس خارج سلولی تاثیر می‌گذارد. نقش مهمی در تنظیم عملکردهای سلولی تکثیر و مهاجرت سلولی دارد. اگرچه SPARC یک پروتئین مخصوص تومور نیست، اما بیان بیش از حد آن با رشد تومور و متاستاز آن همراه است (۶۵). بیان بیش از حد SPARC با پیش آگهی ضعیف تومور ارتباط دارد. چندین مطالعه پیشنهاد کرده‌اند که بیان TNBC در SPARC بیشتر از سایر زیرگروه‌های سرطان سینه است (۶۳). در طی تعامل با فاکتورهای رشد مانند فاکتور رشد اندوتیال عروقی، فاکتور اصلی رشد فیبروبلاست، فاکتور رشد مشتق از پلاکت، فاکتور رشد β -TGF و اینتگرین، متالوپروتئازها و سایر اجزای ماتریکس خارج سلولی، SPARC می‌تواند تکثیر، شکل و چسبندگی سلول‌ها را تحت تأثیر قرار دهد، و در نتیجه تومورها را قادر سازد تا با سلولهای استرومایی و ماتریکس ارتباط داشته باشند. اخیراً SPARC را به عنوان نشانگر زیستی برای پاسخ درمانی مورد توجه قرار می‌دهند (۶۴). در مورد این پروتئین نظرات متناقضی وجود دارد. چندین مطالعه نشان داده اند که افزایش بیان SPARC با پیش آگهی ضعیف در رابطه با سرطان سینه همراه است. به عنوان مثال Alcaraz و همکاران بر این عقیده‌اند که این پروتئین

نتیجه‌گیری

استفاده سیر و زنجبل در درمان سرطان می‌تواند مفید باشد. مطالعه ما نشان داد تجویز سیر و زنجبل باعث کاهش اندازه تومور در موش‌ها می‌گردد. این عمل احتمالاً از طریق مکانیسم آنتی اکسیدانی و مهار بیان ژن‌های مقاوم به سرطان است. میزان آنزیم GST به عنوان یک آنتی اکسیدان در بعضی از گروه‌ها افزایش معنی دار نشان داد که این امر وابسته به دوز نبود. بیان ژن SPARC به عنوان نشانگر زیستی برای سرطان در تمامی گروه‌های مورد مطالعه کاهش نشان داد. بیان ژن ABCG2 به عنوان عامل مقاوم به سرطان فقط در دوز ۵۰ سیر کاهش معنی دار نشان داد. استفاده همزمان سیر و زنجبل باعث تغییرات بیشتری در این زمینه نشد. بنابراین بررسی‌های بیشتری جهت تعیین میزان دوزهای لازم و موثر و همچنین مکانیسم‌ها دخیل در این امر لازم است.

تعارض منافع

هیچگونه تضاد منافع وجود ندارد. این پروژه با کد اخلاق "۱۳۹۹،۸۰" پذیرفته شده است.

یک سم قارچی بنام (FTC)، بود که با وجود اختصاصیت نسبت به ABCG2، اثرات عصبی را نشان می‌داد (۶۶). از آن زمان کشف، چندین آنالوگ تتراسایکلی FTC با هدف افزایش قدرت مهار و کاهش عوارض جانبی مانند Ko143 سنتر شده است. با این حال، در داخل بدن ناپایدار است و نسبت به ABCG2 غیر اختصاصی است (۶۷). علاوه بر FTC و مشتقات آن، سایر ترکیبات طبیعی مانند فلاونوها و کورکومینوئیدها به عنوان مهار کننده ABCG2 گزارش شده است (۶۸). کرومون‌ها به عنوان بخشی از فلاونوئیدها دارای به طور گسترده مورد مطالعه قرار گرفته و به عنوان مهار کننده‌های قوی، انتخابی و غیر سمی ABCG2 شناخته شده است (۶۹). با وجود افزایش تعداد مطالعات ABCG2، هنوز هیچ مهار کننده‌ای برای استفاده بالینی در دسترس نیست.

مطالعه ما نشان داد عصاره آبی سیر و زنجبل باعث کاهش بیان این ژن می‌شود که البته فقط در گروه سیر ۵۰ میلی‌گرم بر کیلوگرم معنی دار بود. شاید نیاز به مطالعه بررسی‌های بیشتری است که دوزهای متفاوت تری از این عوامل را بررسی کنیم. ضمناً تاموکسیفن نیز باعث کاهش بیان این ژن گردید.

References

- Nile SH, Park SWJIC, Products. Chromatographic analysis, antioxidant, anti-inflammatory, and xanthine oxidase inhibitory activities of ginger extracts and its reference compounds. 2015; 70:238-44.
- Rahman K. Historical perspective on garlic and cardiovascular disease. J Nutr. 2001; 131(3s): 977S-9S.
- Cabello CM, Bair 3rd WB, Wondrak GTJCoiid. Experimental therapeutics: targeting the redox Achilles heel of cancer. 2007; 8(12):1022-37.
- Haagenson KK, Tait L, Wang J, Shekhar MP, Polin L, Chen W, et al. Cullin-3 protein expression levels correlate with breast cancer progression. Cancer Biol Ther. 2012; 13(11): 1042-6.
- Banerjee SK, Dinda AK, Manchanda SC, Maulik SKJBp. Chronic garlic administration protects rat heart against oxidative stress induced by ischemic reperfusion injury. 2002; 2(1):1-9.
- Gomar A, Hosseini A, Mirazi N, Gomar MJCNJ. Effect of Zingiber Officinale (ginger rhizomes) hydroethanolic extract on hyoscine-induced memory impairment in adult male rats. 2015; 2(3):105-10.
- Capasso A. Antioxidant action and therapeutic efficacy of Allium sativum L. Molecules. 2013; 18(1): 690-700.
- Suddeek GM. Allicin enhances chemotherapeutic response and ameliorates tamoxifen-induced liver injury in experimental animals. Pharm Biol. 2014; 52(8):1009-14.

9. Wu CC, Chu YL, Sheen LY. Allicin modulates the antioxidation and detoxification capabilities of primary rat hepatocytes. *J Tradit Complement Med.* 2012; 2(4):323-30.
10. Wang L, Zhai Q, Lu Q, Lee K, Zheng Q, Hong R, et al. Clinical genomic profiling to identify actionable alterations for very early relapsed triple-negative breast cancer patients in the Chinese population. *Annals of Medicine.* 2021; 53(1):1358-69.
11. Javir G, Joshi K. Evaluation of the combinatorial effect of *Tinospora cordifolia* and *Zingiber officinale* on human breast cancer cells. *3 Biotech.* 2019; 9(11): 428.
12. Liang X-J, Chen C, Zhao Y, Wang PC. Circumventing tumor resistance to chemotherapy by nanotechnology. *Multi-Drug Resistance in Cancer:* Springer. 2010; 467-88.
13. Nounou MI, ElAmrawy F, Ahmed N, Abdelraouf K, Goda S, Syed-Sha-Qhattal H. *Breast Cancer: Conventional Diagnosis and Treatment Modalities and Recent Patents and Technologies.* *Breast Cancer (Auckl).* 2015; 9(2):17-34.
14. Seca AM, Pinto DCJIjoms. Plant secondary metabolites as anticancer agents: successes in clinical trials and therapeutic application. *International journal of molecular sciences.* 2018; 19(1):263.
15. Mao QQ, Xu XY, Cao SY, Gan RY, Corke H, Beta T, et al. Bioactive Compounds and Bioactivities of Ginger (*Zingiber officinale* Roscoe). *Foods.* 2019; 8(6):185.
16. Stoner GDJCP. Ginger: is it ready for prime time? *cancer prevention research.* 2013; 6(4): 257-62.
17. Nile SH, Park SWJIC, Products. Chromatographic analysis, antioxidant, anti-inflammatory, and xanthine oxidase inhibitory activities of ginger extracts and its reference compounds. *Industrial Crops and Products.* 2015; 70: 238-44.
18. Zhang M, Viennois E, Prasad M, Zhang Y, Wang L, Zhang Z, et al. Edible ginger-derived nanoparticles: A novel therapeutic approach for the prevention and treatment of inflammatory bowel disease and colitis-associated cancer. *Biomaterials.* 2016; 101: 321-40.
19. Kumar NV, Murthy PS, Manjunatha JR, Bettadaiah BJFc. Synthesis and quorum sensing inhibitory activity of key phenolic compounds of ginger and their derivatives. *Food chemistry.* 2014; 159: 451-7.
20. Citronberg J, Bostick R, Ahearn T, Turgeon DK, Ruffin MT, Djuric Z, et al. Effects of ginger supplementation on cell-cycle biomarkers in the normal-appearing colonic mucosa of patients at increased risk for colorectal cancer: results from a pilot, randomized, and controlled trial. *Cancer prevention research.* 2013; 6(4):271-81.
21. Ho S-C, Chang K-S, Lin C-CJFc. Antineuroinflammatory capacity of fresh ginger is attributed mainly to 10-gingerol. *Food chemistry.* 2013; 141(3):3183-91.
22. Akinyemi AJ, Thome GR, Morsch VM, Stefanello N, Goularte JF, Belló-Klein A, et al. Effect of dietary supplementation of ginger and turmeric rhizomes on angiotensin-1 converting enzyme (ACE) and arginase activities in L-NAME induced hypertensive rats. *Journal of Functional Foods.* 2015; 17: 792-801.
23. Suk S, Kwon GT, Lee E, Jang WJ, Yang H, Kim JH, et al. Gingerenone A, a polyphenol present in ginger, suppresses obesity and adipose tissue inflammation in high-fat diet-fed mice. *Mol Nutr Food Res.* 2017; 61(10): 1700139.
24. Wei CK, Tsai YH, Korinek M, Hung PH, El-Shazly M, Cheng YB, et al. 6-Paradol and 6-Shogaol, the Pungent Compounds of Ginger, Promote Glucose Utilization in Adipocytes and Myotubes, and 6-Paradol Reduces Blood Glucose in High-Fat Diet-Fed Mice. *Int J Mol Sci.* 2017; 18(1):168.
25. Walstab J, Kruger D, Stark T, Hofmann T, Demir IE, Ceyhan GO, et al. Ginger and its pungent constituents non-competitively inhibit activation of human recombinant and native 5-HT₃ receptors of enteric neurons. *Neurogastroenterol Motil.* 2013; 25(5): 439-47, e302.
26. Li Y, Li S, Meng X, Gan RY, Zhang JJ, Li HB. Dietary Natural Products for Prevention and Treatment of Breast Cancer. *Nutrients.* 2017; 9(7): 728.
27. Ansari JA, Ahmad MK, Khan AR, Fatima N, Khan HJ, Rastogi N, et al. Anticancer and Antioxidant activity of *Zingiber officinale* Roscoe rhizome. *Indian J Exp Biol.* 2016; 54(11): 767-73.
28. El-Saber Batiha G, Magdy Beshbishi A, L GW, Elewa YHA, A AA-S, Abd El-Hack ME, et al. Chemical Constituents and Pharmacological Activities of Garlic (*Allium sativum* L.): A Review. *Nutrients.* 2020; 12(3): 872.
29. Miraghajani M, Rafie N, Hajianfar H, Larijani B, Azadbakht L. Aged Garlic and Cancer: A Systematic Review. *Int J Prev Med.* 2018; 9:84.
30. Karmakar S, Choudhury SR, Banik NL, Ray SK. Molecular mechanisms of anti-cancer action of garlic compounds in neuroblastoma. *Anticancer Agents Med Chem.* 2011; 11(4): 398-407.

31. Halbuda MEA, Khotimah H, Fahanani AF, editors. The effects of garlic (*Allium sativum*) extracts on the L-thyroxine-induced hyperthyroidism in male rats. AIP Conference Proceedings; 2021: AIP Publishing LLC.
32. Ghalehkandi JGJAR. Garlic (*Allium sativum*) juice protects from semen oxidative stress in male rats exposed to chromium chloride. 2018; 11(4):526-32.
33. Abdulrazaq NB, Cho MM, Win NN, Zaman R, Rahman MTJBJoN. Beneficial effects of ginger (*Zingiber officinale*) on carbohydrate metabolism in streptozotocin-induced diabetic rats. 2012; 108(7):1194-201.
34. Asdaq SMB, Inamdar MNJE-BC, Medicine A. Pharmacodynamic and pharmacokinetic interactions of propranolol with garlic (*Allium sativum*) in rats. 2011; 2011.
35. Li Y, Tran VH, Duke CC, Roufogalis BDJE-BC, Medicine A. Preventive and protective properties of *Zingiber officinale* (ginger) in diabetes mellitus, diabetic complications, and associated lipid and other metabolic disorders: a brief review. 2012; 2012.
36. EYDI A, EYDI M, Oryan S, ESMAEELI A. Effect of garlic (*Allium sativum*) extract on levels of urea and uric acid in normal and streptozotocin-diabetic rats. 2004.
37. Thomson M, Al-Qattan K, Al-Sawan S, Alnaqeeb M, Khan I, Ali MJP, leukotrienes, et al. The use of ginger (*Zingiber officinale Rosc.*) as a potential anti-inflammatory and antithrombotic agent. 8-475:(6)67;2002.
38. Shahrivar T, Mokhtari M, Alipour VJJJoIUoMS. Effects of Ginger (*Zingiber Officinale*) Aqueous Extract on the Levels of Hepatic Enzymes, Biochemical Parameters, and Histological Changes in Male Wistar Strain Rats Following Treatment with Streptozotocin. 2018; 26(1): 73-84.
39. Shahrivar T, Mokhtari MJMSJoIAU-TMB. Effects of aqueous extract of *Zingiber officinale* on lipid profiles in rat subjected to streptozotocin. 2018; 28(3):230-8.
40. Zadorozhna M, Mangieri D. Mechanisms of Chemopreventive and Therapeutic Proprieties of Ginger Extracts in Cancer. Int J Mol Sci. 2021; 22(12):6599.
41. Su CC, Chen GW, Tan TW, Lin JG, Chung JG. Crude extract of garlic induced caspase-3 gene expression leading to apoptosis in human colon cancer cells. In Vivo. 2006; 20(1):85-90.
42. Funk JL, Frye JB, Oyarzo JN, Chen J, Zhang H, Timmermann BN. Anti-Inflammatory Effects of the Essential Oils of Ginger (*Zingiber officinale Roscoe*) in Experimental Rheumatoid Arthritis. PharmaNutrition. 2016; 4(3):123-31.
43. Tsubura A, Lai YC, Kuwata M, Uehara N, Yoshizawa K. Anticancer effects of garlic and garlic-derived compounds for breast cancer control. Anticancer Agents Med Chem. 2011; 11(3): 249-53.
44. Pérez-Torres I, Castrejón-Téllez V, Soto ME, Rubio-Ruiz ME, Manzano-Pech L, Guarner-Lans VJIJoMS. Oxidative stress, plant natural antioxidants, and obesity. Int J Mol Sci. 2021; 22(4): 1786.
45. Dong M, Yang G, Liu H, Liu X, Lin S, Sun D, et al. Aged black garlic extract inhibits HT29 colon cancer cell growth via the PI3K/Akt signaling pathway. Biomed Rep. 2014; 2(2): 250-4.
46. Kidd PMJAMR. Glutathione: systemic protectant against oxidative and free radical damage. Alt Med Rev. 1997; 2(3):155-76.
47. Borlinghaus J, Kappler U, Antelmann H, Noll U, Gruhlik MC, Slusarenko AJJM. Allicin, the odor of freshly crushed garlic: A review of recent progress in understanding allicin's effects on cells. molecules. 2021; 26(6):1505.
48. He S, Liao TT, Chen YT, Kuo HM, Lin YL. Glutathione- S- transferase enhances proliferation-migration and protects against shikonin-induced cell death in breast cancer cells. Kaohsiung J Med Sci. 2011; 27(11): 477-84.
49. Sharma R, Yang Y, Sharma A, Awasthi S, Awasthi YC. Antioxidant role of glutathione S-transferases: protection against oxidant toxicity and regulation of stress-mediated apoptosis. Antioxid Redox Signal. 2004; 6(2):289-300.
50. Andújar-Sánchez M, Smith AW, Clemente-Jimenez JM, Rodriguez-Vico F, Las Heras-Vazquez FJ, Jara-Pérez V, et al. Crystallographic and thermodynamic analysis of the binding of S-octylglutathione to the Tyr 7 to Phe mutant of glutathione S-transferase from *Schistosoma japonicum*. Biochemistry. 2005; 44(4):1174-83.
51. Manupati K, Debnath S, Goswami K, Bhoj PS, Chandak HS, Bahekar SP, et al. Glutathione S-transferase omega 1 inhibition activates JNK-mediated apoptotic response in breast cancer stem cells. FEBS J. 2019; 286(11):2167-92.
52. Andorfer JH, Tchaikovskaya T, Listowsky I. Selective expression of glutathione S-transferase genes in the murine gastrointestinal tract in response to dietary organosulfur compounds. Carcinogenesis. 2004; 25(3):359-67.
53. Liu J, Lin RI, Milner JA. Inhibition of 7, 12-dimethylbenz [a] anthracene- induced mammary tumors and DNA adducts by garlic powder. Carcinogenesis. 1992; 13(10):1847-51.

54. Sharma R, Yang Y, Sharma A, Awasthi S, Awasthi YCJA, Signaling R. Antioxidant role of glutathione S- transferases: protection against oxidant toxicity and regulation of stress-mediated apoptosis. 2004; 6(2):289-300.
55. Zhu A, Yuan P, Du F, Hong R, Ding X, Shi X, et al. SPARC overexpression in primary tumors correlates with disease recurrence and overall survival in patients with triple negative breast cancer. *Oncotarget*. 2016; 7(47): 76628.
56. Hsiao YH, Lien HC, Hwa HL, Kuo WH, Chang KJ, Hsieh FJ. SPARC (osteonectin) in breast tumors of different histologic types and its role in the outcome of invasive ductal carcinoma. *Breast J*. 2010; 16(3): 305-8.
57. Lindner JL, Loibl S, Denkert C, Ataseven B, Fasching PA, Pfitzner BM, et al. Expression of secreted protein acidic and rich in cysteine (SPARC) in breast cancer and response to neoadjuvant chemotherapy. *Ann Oncol*. 2015; 26(1):95-100.
58. Alcaraz LB, Mallavialle A, David T, Derocq D, Delolme F, Dieryckx C, et al. A 9-kDa matricellular SPARC fragment released by cathepsin D exhibits pro-tumor activity in the triple-negative breast cancer microenvironment. *Theranostics*. 2021; 11(13): 6173-92.
59. Koblinski JE, Kaplan-Singer BR, VanOsdol SJ, Wu M, Engbring JA, Wang S, et al. Endogenous osteonectin/ SPARC/ BM-40 expression inhibits MDA-MB-231 breast cancer cell metastasis. *Cancer Res*. 2005; 65(16):7370-7.
60. Ma J, Gao S, Xie X, Sun E, Zhang M, Zhou Q, et al. SPARC inhibits breast cancer bone metastasis and may be a clinical therapeutic target. *Oncol Lett*. 2017; 14(5):5876-82.
61. Westover D, Li F. New trends for overcoming ABCG2/ BCRP- mediated resistance to cancer therapies. *J Exp Clin Cancer Res*. 2015; 34(1):159.
62. Doyle LA, Yang W, Abruzzo LV, Krosgmann T, Gao Y, Rishi AK, et al. A multidrug resistance transporter from human MCF- γ breast cancer cells. *Proc Natl Acad Sci USA*. 1998; 95(26):15665-70.
63. Miyake K, Mickley L, Litman T, Zhan Z, Robey R, Cristensen B, et al. Molecular cloning of cDNAs which are highly overexpressed in mitoxantrone-resistant cells: demonstration of homology to ABC transport genes. *Cancer Res*. 1999; 59(1):8-13.
64. Shigeta J, Katayama K, Mitsuhashi J, Noguchi K, Sugimoto YJC. BCRP/ABCG2 confers anticancer drug resistance without covalent dimerization. *Cancer Sci*. 2010;101(8):1813-21.
65. Vesga LC, Kronenberger T, Tonduru AK, Kita DH, Zattoni IF, Bernal CC, et al. Tetrahydroquinoline/ 4, 5-Dihydroisoxazole Molecular Hybrids as Inhibitors of Breast Cancer Resistance Protein. *ChemMedChem*. 2021;16:1-10.
66. Rabindran SK, He H, Singh M, Brown E, Collins KI, Annable T, et al. Reversal of a novel multidrug resistance mechanism in human colon carcinoma cells by fumitremorgin C. *Cancer Res*. 1998; 58(24): 5850-8.
67. Weidner LD, Zoghbi SS, Lu S, Shukla S, Ambudkar SV, Pike VW, et al. The inhibitor Ko143 is not specific for ABCG2. *J Pharmacol Exp Ther*. 2015; 354(3): 384-93.
68. Chearwae W, Shukla S, Limtrakul P, Ambudkar SVJMct. Modulation of the function of the multidrug resistance-linked ATP-binding cassette transporter ABCG2 by the cancer chemopreventive agent curcumin. *Mol Cancer Ther*. 2006; 5(8): 1995-2006.
69. Roussel E, Moreno A, Altounian N, Philouze C, Peres B, Thomas A, et al. Chromones bearing amino acid residues: Easily accessible and potent inhibitors of the breast cancer resistance protein ABCG2. *Eur J Med Chem*. 2020; 202: 112503.